



تعیین پارامترهای مدل ناحیه چسبناک در مود اول تیر دولبه یکسرگیردار کامپوزیتی با استفاده از روش معکوس

محمود مهرداد شکریه^{*}، صادق دمیرچی‌لو^۲، مظاہر سلامت طلب^۳

۱- استاد، مهندسی مکانیک، دانشگاه علم و صنعت ایران، تهران

۲- کارشناس ارشد، مهندسی مکانیک، دانشگاه علم و صنعت ایران، تهران

۳- دانشجوی دکترا، مهندسی مکانیک، دانشگاه علم و صنعت ایران، تهران

*تهران، صندوق پستی ۱۳۱۱۴، ۱۶۸۴۶

shokrieh@iust.ac.ir

چکیده

در این تحقیق، رشد تورق در مود اول چندلایه‌های کامپوزیتی پلیمری تکجهته با پلزنی الیاف برسی شده است. بدین منظور، مدل سازی المان محدود رشد تورق در تیر دولبه یکسرگیردار با استفاده از مدل ناحیه چسبناک بر پایه مدل‌های کشش- جداش انجام شده است. در نمونه‌های DCB، نرخ رهایی انرژی کرنشی با افزایش طول تورق در حین رشد ترک افزایش می‌یابد و این باعث می‌شود تا مدل‌های ساده کشش- جداش، مانند دوخطی توانایی پیش‌بینی دقیق بار- جابه‌جایی این نمونه‌ها را نداشته باشند. بهمنظور رفع این نقص، مدل‌های کشش- جداش چندخطی معرفی می‌شوند. در این تحقیق با استفاده از کمینه نمودن اختلاف نمودار بار- جابه‌جایی حاصل از المان محدود و آزمایشگاهی نمونه DCB. پارامترهای مدل ناحیه چسبناک با استفاده از الگوریتم ژنتیک بهینه‌سازی می‌شوند. نتایج عددی حاصل از مدل سازی المان محدود با استفاده از مدل ناحیه چسبناک چندخطی ارایه شده در تحقیق حاضر، با نتایج آزمایشگاهی محققین دیگر مقایسه شده است. نتایج عددی نشان می‌دهند، مدل ناحیه چسبناک چهار خطی ارایه شده، حداقل تنش پلزنی مستخرج از داده‌های آزمایشگاهی و همچنین رفتار تورقی نمونه تیر دولبه یکسرگیردار را به خوبی پیش‌بینی می‌نماید.

اطلاعات مقاله

دریافت: ۹۵/۲/۲

پذیرش: ۹۵/۳/۲۷

کلیدواژه‌گان:

پلزنی الیاف در مقیاس بزرگ

اثر منحنی مقاومت

تورق

مدل ناحیه چسبناک

الگوریتم ژنتیک

Determination of cohesive zone parameters in mode I delamination growth of a double cantilever beam specimen using the inverse method

Mahmood Mehrdad Shokrieh*, Sadegh Damirchiloo, Mazaher Salamat-talab

School of Mechanical Engineering, Iran University of Science and Technology, Tehran, Iran

*P.O.B. 16846-13114, Tehran, Iran, shokrieh@iust.ac.ir

Keywords

Large scale bridging
R-curve effect
Delamination
Cohesive zone model (CZM)
Genetic algorithm

Abstract

In this study, delamination growth in mode I loading of unidirectional laminated composites with R-curve effect was investigated. To this end, a finite element simulation of delamination growth in double cantilever beam (DCB) performed using the cohesive zone model (CZM) based on traction-separation laws. By increasing the delamination length in DCB specimens, the strain energy release rate increases and for this reason the simple traction-separation law such as bilinear are not capable to predict the load-displacement curve of this specimens accurately. To solve this shortcoming, cohesive zone models with multi-linear traction-separation laws were proposed to predict delamination behavior of the DCB specimens numerically. Afterwards, by minimizing the difference between experimental and numerical load-displacement curves using optimization method based on genetic algorithm, cohesive zone parameters are characterized. A comparison of the results obtained by cohesive laws with experimental data show that four-linear cohesive law can predict the maximum bridging stress as well as the experimental load-displacement curve accurately.

۱- مقدمه

گرفته است بررسی مودهای مختلف بروز آسیب و خرابی در سازه‌های کامپوزیتی به دلیل داشتن نسبت استحکام به وزن بالا در صنایع مختلفی چون کشتی‌سازی، خودروسازی، نظامی و غیره به کار گرفته این مودهای کامپوزیتیها استانداردهای آزمایشگاهی مختلفی تدوین گردیده است تا این می‌شوند. یکی از مهمترین تحقیقاتی که در حوزه رفتار کامپوزیتها انجام

مواد کامپوزیتی به دلیل داشتن نسبت استحکام به وزن بالا در صنایع

Please cite this article using:

برای ارجاع به این مقاله از عبارت زیر استفاده نمایید:

Shokrieh, M.M. Damirchiloo, S. and Salamat-talab, M., "Determination of cohesive zone parameters in mode I delamination growth of a double cantilever beam specimen using the inverse method", In Persian, Journal of Science and Technology of Composites, Vol. 4, No. 1, pp. 83-90, 2017.

چقرمگی شکست بین لایه ای بر حسب بازشدنی محلی نوک اولیه ترک و مشتق گیری از آن، می‌توان قانون پلزنی الیاف را استخراج نمود [۱۳، ۱۲].

روش تئوری نیز برای استخراج قانون کشش- جدایش ارائه شده است. این روش بر اساس ارائه یک قانون سه خطی حاصل از جمع خطی دو قانون دو خطی تدوین شده است. داویلا و همکاران از این روش برای بررسی رشد تورق در نمونه CT استفاده نموده‌اند [۱۰]. سپس حیدری- رارانی و همکاران [۱۱] از این روش تئوری برای مطالعه عددی رشد تورق در نمونه DCB بهره گرفته‌اند.

فرمند- آشتیانی و همکاران [۱۴] و منشادی و همکاران [۱۵، ۱۶] با استفاده از یک روش نیمه آزمایشگاهی به استخراج آزمایشگاهی قانون پلزنی یا چسبناک نمونه‌های DCB تکجهته کامپوزیتی پرداخته‌اند. این روش بر اساس محاسبه کرنش‌های طولی در نزدیکی نوک ترک در نمونه تکجهته با استفاده از سنسورهای مخصوص FGBG^۴ اجرایی می‌شود. سپس قانون پلزنی الیاف با استفاده از یک فرایند بهینه‌سازی استخراج می‌گردد.

دورادو و همکاران [۱۷] در مود دوم تورق و مورابیس و همکاران [۱۸] برای مود ترکیبی تورق با ارائه یک قانون سه خطی و استفاده از الگوریتم بهینه‌سازی ژنتیک توانسته‌اند رشد تورق را در نمونه‌های تکجهته پیش‌بینی نمایند. این روش بر اساس کمینه کردن اختلاف نمودار بار- جابه‌جایی آزمایشگاهی و عددی بر اساس الگوریتم ژنتیک عمل می‌نماید.

استخراج آزمایشگاهی قانون پلزنی الیاف با استفاده از انتگرال ۱ مشکلاتی را در پی دارد. در این روش محاسبه دقیق جابه‌جایی محلی نوک ترک اولیه و همچنین پیدا نمودنتابع مناسب برای مشتق گیری مهمترین چالش‌های این روش خواهد بود. در این تحقیق سعی گردیده است تا بدون نیاز به آزمایش، پارامتر مهم حداکثر تنش پلزنی در مدل ناحیه چسبناک با دقت مناسب استخراج گردد. بدین منظور مدل ناحیه چسبناک بر پایه مدلی چندخطی، معرفی شده و سپس با استفاده از روش بهینه سازی بر مبنای الگوریتم ژنتیک، پارامترهای مدل پیشنهادی استخراج می‌گردند. مدل ناحیه چسبناک استخراج شده با مدل‌های تئوری و آزمایشگاهی محققین دیگر مقایسه می‌گردد و همچنین توانایی مدل پیشنهادی به منظور پیش‌بینی رفتار تورقی نمونه DCB مورد بررسی قرار می‌گیرد.

۲- مدل سازی المان محدود

بکی از روش‌های مدل سازی المان محدود تورق، استفاده از المان بین لایه‌ای چسبناک (CZM) می‌باشد. در این روش در نواحی محتمل برای رشد ترک این نوع از المان‌ها قرار می‌گیرند. المان بین لایه‌ای بر مبنای مدل ساختاری کشش- جدایش رفتار می‌نمایند. ساده‌ترین مدل کشش- جدایش به صورت دوخطی بوده که در شکل ۱ نشان داده شده است. در این مدل سه ناحیه را می‌توان مورد بررسی قرار داد. ناحیه اول، که ناحیه الاستیک بوده و تنش در این ناحیه کمتر از مقدار بیشینه می‌باشد ($\delta_0 < \delta$). سپس با رسیدن به نقطه بیشینه تنش، آسیب در المان شروع شده و تنش در آن کاهش یافته تا به مقدار صفر میرسد ($\delta_0 < \delta < \delta_r$). سپس با افزایش میزان جدایش در این المان، ترک رشد می‌یابد ($\delta_r > \delta$). حال با استفاده از مدل المان محدود با المان‌های ناحیه چسبناک که بر پایه کشش- جدایش دوخطی می‌باشد، به مدل سازی تیر دولبه یکسر گیردار پرداخته می‌شود.

5. Fiber Bragg Grating

پدیده به صورت آزمایشگاهی مورد مطالعه قرار گیرد. تیر دولبه یکسر گیردار (DCB)^۱) متناظر بر اساس استاندارد ASTM D-5528 یکی از نمونه‌های پرکاربرد به منظور تعیین آزمایشگاهی چقرمگی شکست بین لایه‌ای در چندلایه‌های کامپوزیتی تکجهته می‌باشد [۱]. به منظور مطالعه عددی رشد تورق نیز محققین روش‌های مختلفی را ارائه نموده‌اند. روش بسته شدن مجازی ترک ۲ و مدل سازی ناحیه چسبناک^۲ دو روش ارائه شده‌ی متداول و پرکاربرد برای مطالعه عددی پدیده تورق در نمونه‌های کامپوزیتی می‌باشد. روش VCCT^۳ بر اساس مکانیک شکست و روش CZM بر اساس مکانیک آسیب می‌باشد. روش VCCT اولین بار توسط ریبیکی و همکاران [۲]^۴ تدوین گشته است. اما استفاده از این روش فرایند مدل سازی رشد تورق را با مشکلات بسیاری همراه می‌کند. چرا که به کارگیری این روش برای شبیه‌سازی رشد تورق مستلزم تولید هندسه و شبکه مجدد می‌باشد. در نتیجه فرایند مدل سازی به شدت زمان بر و مشکل خواهد بود. اما روش CZM با استفاده از مفهوم انرژی و قانون کشش- جدایش روشنی مناسب به منظور مدل سازی رشد تورق در چندلایه‌های کامپوزیتی می‌باشد که توانایی پیش-بینی همزمان شروع و رشد تورق را دارا می‌باشد. این روش بر مبنای به کارگیری یک قانون کشش- جدایش اجرایی می‌گردد. قانون کشش- جدایش به عنوان یک مدل ساختاری برای المان بین لایه‌ای که در فرایند رشد تورق دچار آسیب می‌شود مورد استفاده قرار می‌گیرد. این قانون شامل نمودار تنش بر حسب جابه‌جایی در المان بین لایه‌ای می‌باشد. شکل قانون کشش- جدایش نقشی بسیار محوری را در میزان دقت پیش‌بینی شروع و رشد تورق ایفا می‌کند. محققین اشکال مختلفی شامل ذوزنقه‌ای، دوخطی و سه خطی را برای این قانون پیشنهاد نموده‌اند [۵-۳]. قانون کشش- جدایش دوخطی ساده‌ترین قانونی است که توسط داگدیل [۶] و بارنیلت [۷] ارائه شده است. این قانون به دلیل داشتن تنها سه پارامتر حداکثر تنش قابل تحمل توسط المان، سفتی الاستیک اولیه و چقرمگی شکست مورد استفاده بسیاری از محققین به منظور مطالعه عددی پدیده تورق در نمونه‌های کامپوزیتی قرار گرفته است [۸، ۹].

در فرایند رشد تورق برای مود اول در چندلایه‌های تکجهته مقدار نرخ رهایی انرژی کرنشی با رشد ترک به دلیل پلزنی الیاف افزایش می‌یابند. این پدیده به عنوان اثر منحنی مقاومت^۴ شناخته می‌شود و تاثیر بسیار زیادی بر نمودار بار- جابه‌جایی آزمایشگاهی خواهد داشت. با توجه به اینکه نمونه‌های مورد بحث این تحقیق نیز دارای لایه‌چینی تکجهته می‌باشند، اثر منحنی مقاومت و پلزنی الیاف تاثیر زیادی بر فرایند رشد تورق خواهد داشت. محققین [۱۰، ۱۱] ثابت نموده‌اند که قانون کشش- جدایش- دوخطی قابلیت مدل سازی و پیش‌بینی اثر پلزنی الیاف با مقایسه بالا بر فرایند رشد تورق را ندارد. در نتیجه محققین بر آن شدند با اصلاح قانون دوخطی و ارائه قوانین دیگر مانند سه خطی، چهار خطی و یا نامی بتوانند اثر منحنی مقاومت در فرایند رشد تورق را به صورت دقیق‌تری مدل سازی کنند.

قانون پلزنی الیاف را با استفاده از روش‌های مختلف آزمایشگاهی و عددی می‌توان استخراج نمود. یکی از روش‌های پرکاربرد آزمایشگاهی روش انتگرال [۱] می‌باشد. به منظور استخراج قانون پلزنی الیاف در این روش، پارامتر بار، جابه‌جایی محل اعمال بار، طول ترک و همینطور بازشدنی محلی نوک اولیه ترک می‌بایست همزمان تعیین گردد. آنکه با استخراج منحنی

1. Double Cantilever Beam (DCB)

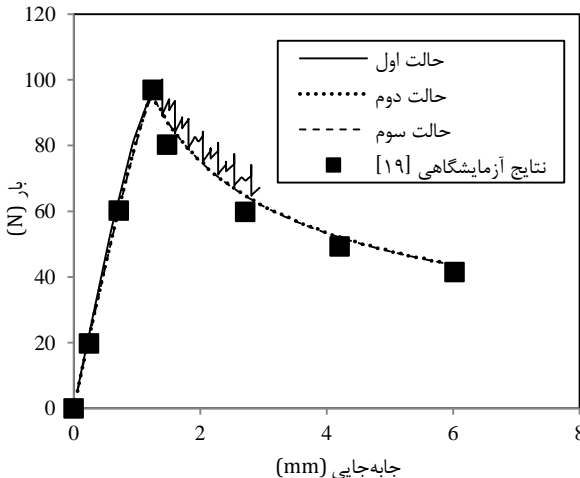
2. Virtual Crack Closure Technique (VCCT)

3. Cohesive Zone Modelling (CZM)

4. Resistance Curve (R-curve)

جدول ۱ خواص مکانیکی و هندسی نمونه DCB [۱۹]	
مقدار	کمیت
۱۳۷	E_x (GPa)
۸	E_y (GPa)
۴	G_{xy} (GPa)
۰/۲۳	v_{xy}
۰/۲۵۷	G_{lc} (J/m ²)
۱۵	σ_{max} (MPa)
۲۲	a_0 (mm)
۳/۱	۲h (mm)
۲۴	B (mm)

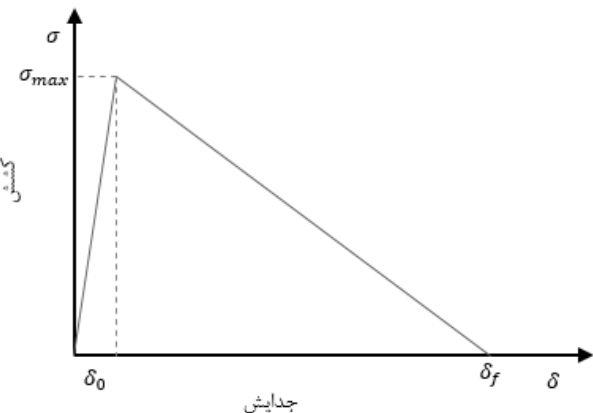
برای حالت‌های دوم و سوم هم ۱۲ المان در جهت ضخامت نمونه و همچنین برای ناحیه چسبنایک به ترتیب از المان‌هایی با طول ۰/۵ و ۰/۱ میلی‌متر استفاده شده است که در این دو حالت حل المان محدود به همگرایی منجر گردیده است.



شکل ۳ تحلیل حساسیت به شبکه

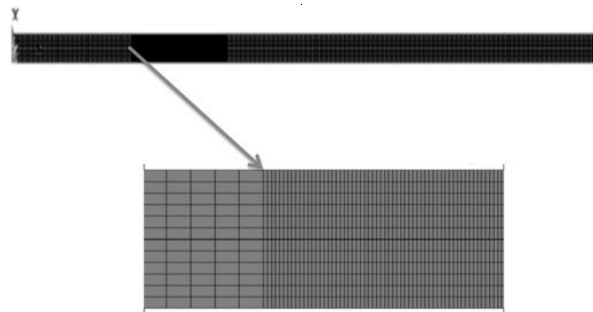
با توجه به شکل ۳، مدل‌سازی المان محدود توانسته است نتایج آزمایشگاهی را به درستی پیش‌بینی نماید، بنابراین می‌توان نتیجه گرفت که مدل‌سازی المان محدود مساله و UMAT نوشته شده برای ناحیه چسبنایک از صحت و اعتبار لازم برخوردار می‌باشد. همچنین با مقایسه دو حالت دوم و سوم می‌توان دریافت که کاهش قابل توجه اندازه المان‌ها تغییر چندانی در نتایج حاصله ایجاد نکرده است که می‌توان به مستقل بودن نتایج مدل‌سازی المان محدود نسبت به اندازه المان‌ها پی برد.

۴- بهینه‌سازی پارامترهای مدل ناحیه چسبنایک
در این بخش پارامترهای ناحیه چسبنایک با استفاده از الگوریتم ژنتیک بهینه‌سازی شده و با استفاده از یک الگوریتم تکرار شونده تعیین می‌شوند. الگوریتم ژنتیک یکی از متداول‌ترین روش‌های بهینه‌سازی برای به دست آوردن پارامترهای مجھول به منظور بهینه و کمینه کردن یک پارامتر خاص که تابع هدف یا شایستگی نامیده می‌شود انجام می‌گیرد. این روش شامل چهار مرحله می‌باشد:



شکل ۱ مدل ناحیه چسبنایک دوخطی

در شکل ۲، مدل المان محدود تیر دولبه یکسرگیردار در نرم‌افزار ANSYS13 نشان داده شده است. در این مدل‌سازی، بازویهای بالا و پایین تیر و ناحیه چسبنایک بین‌لایه‌ای با استفاده از المان SOLID182 شبکه‌بندی شده‌اند. مدل مادی ناحیه چسبنایک توسط یک برنامه UMAT برای نرم‌افزار المان محدود تعریف می‌گردد. طول تیر مورد نظر ۱۵۰ میلی‌متر و ضخامت آن ۴/۵ میلی‌متر می‌باشد. برای شبکه‌بندی نمونه، ۱۰ المان در جهت ضخامت کل تیر در نظر گرفته شده است. همچنین برای ۵ میلی‌متر قبل از نوک ترک اولیه و ۴۰ میلی‌متر بعد از آن، المان‌های با طول ۰/۱۰ میلی‌متر استفاده شده است. همانطور که در شکل ۲ مشاهده می‌شود چگونگی شبکه‌بندی و اندازه المان‌ها در نوک ترک نشان داده شده است.



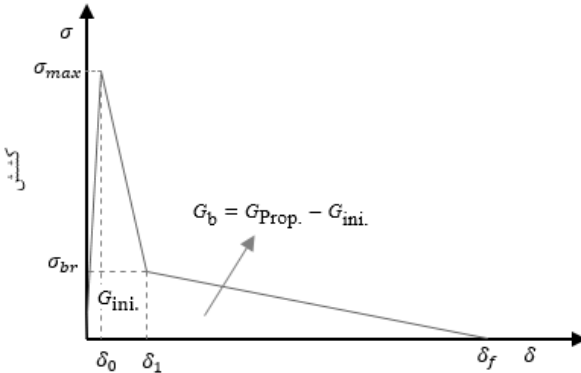
شکل ۲ مدل المان محدود - تیر DCB

۳- تحلیل حساسیت به شبکه

در این بخش قبل از پرداختن به نمونه مورد نظر، سعی خواهد گردید تا با مقایسه نتایج شبیه‌سازی با نتایج آزمایشگاهی محققین دیگر از صحت UMAT نوشته شده و فرایند مدل‌سازی المان محدود اطمینان حاصل نمود. همچنین با انجام تحلیل حساسیت به اندازه المان‌ها سعی خواهد گردید تا ارزیابی مناسبی نسبت به ابعاد و حجم المان‌ها صورت پذیرد. شکل ۳ تحلیل حساسیت به شبکه را نشان می‌دهد. شکل ۶ یک نمونه DCB را به صورتی شماتیک نشان می‌دهد. خواص هندسی و مکانیکی نمونه مورد نظر در جدول ۱ گزارش شده است. برای مدل‌سازی نمونه DCB مورد نظر از سه حالت مختلف شبکه بندی استفاده گردیده است. برای حالت اول ۶ المان در جهت ضخامت نمونه و همچنین از المان با طول ۲ میلی‌متر برای ناحیه چسبنایک

در نظر گرفته شده که نتیجه حل به واگرایی ختم گردیده است.

پارامتر شامل حداکثر تنش نرمال، σ_{max} و حداکثر تنش پلزنی σ_{br} می‌باشند که در شکل ۴ نشان داده شده است.



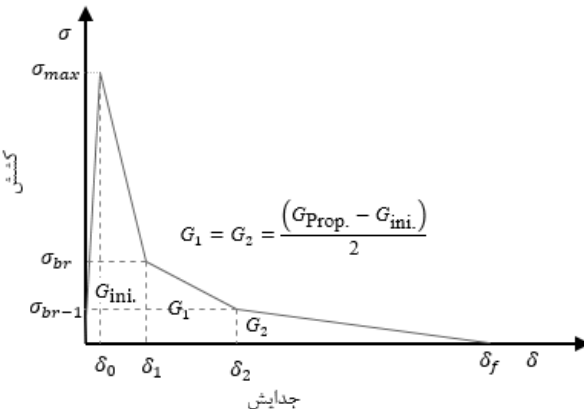
شکل ۴ قانون کشش- جدایش سه خطی

با توجه به شکل ۴ ناحیه اول شامل بخش شروع تورق است که مساحت آن برابر چفرمگی شکست شروع تورق (G_{ini}) خواهد بود. ناحیه ۲ هم به منظور مدل‌سازی رشد تورق و پلزنی الیاف است که مساحت آن برابر تفاضل مقدار چفرمگی شکست رشد و شروع تورق ($G_{Prop} - G_{ini}$) می‌باشد.

با توجه به اینکه مهمترین هدف این تحقیق ارائه‌ی قوانینی حتی الامکان ساده برای ناحیه چسبناک است، در نتیجه سعی می‌گردد تا قانون سه خطی را اصلاح نموده و آن را به یک قانون چهارخطی تبدیل نمود. بدین ترتیب سعی خواهد شد تا فرایند بهینه‌سازی معکوس برای یک قانون چهار خطی نیز اجرا گردد. همانطور که از شکل ۵ می‌توان استنباط نمود، در مساله بهینه‌سازی مربوط به این قانون، پارامترهای مجهول شامل σ_{max} ، σ_{br} و σ_{br-1} می‌باشند.

با توجه به شکل ۵، ناحیه ۱ شامل بخش شروع تورق (G_{ini}) است که مساحت آن هم برابر چفرمگی شروع تورق می‌باشد. ناحیه دوم و سوم هم شامل بخش رشد تورق و پلزنی الیاف است که مساحت مجموع این دو ناحیه برابر تفاضل چفرمگی رشد و شروع تورق ($G_{Prop} - G_{ini}$) خواهد بود. در فرایند بهینه‌سازی ژنتیک فرض می‌گردد که مساحت ناحیه دوم و سوم با یکدیگر برابر است و مقدار انرژی مربوط به پلزنی به صورت مساوی بین این دو ناحیه تقسیم می‌گردد.

یکی از مهمترین پارامترهای بخش پلزنی مدل ناحیه چسبناک پارامتر حداکثر تنش پلزنی الیاف است که در هر دو نوع قانون چندخطی با σ_{br} نشان داده شده است.



شکل ۵ قانون کشش- جدایش چهارخطی

۱) در نظر گرفتن یک جمعیت اولیه به صورت تصادفی و محاسبه تابع هدف با هر کدام از اعضای این جمعیت اولیه.

۲) تولید نسل جدید از طریق جمعیت اولیه با استفاده از اعمال عملگرهای ترکیب، جهش، تقاطع و حذف و محاسبه دوباره تابع هدف با هر کدام از اعضای نسل جدید.

۳) تکرار مرحله دوم برای ایجاد نسل جدید و ادامه‌ی آن تا تعداد نسل‌های معینی که از طریق کاربر تعیین می‌گردد.

۴) اتمام این فرایند تکراری و خروجی دادن بهترین جواب و تابع هدف مربوط به این جواب.

اندازه جمعیت^۱ و چگونگی عملکرد عملگرهای در فرایند بهینه‌سازی بسیار حائز اهمیت می‌باشد. به گونه‌ای که در نظر گرفتن مقادیر بسیار کم برای اندازه جمعیت موجب کاهش پراکندگی^۲ جمعیت و در نتیجه به وجود آمدن چاله مینیموم محلی در فرایند حل می‌شود. همچنین مقادیر بسیار بالا نیز می‌تواند زمان حل را به شدت افزایش دهد. البته ذکر این نکته نیز ضروری است که در نظر گرفتن مقادیر بسیار زیاد برای اندازه جمعیت لزوماً به معنای بالا رفتن دقت نتایج نیست. بلکه باید جمعیت اولیه با در نظر گرفتن مقداری مناسب برای اندازه جمعیت از یک پراکندگی معقولی تبعیت نماید و مقادیر دیگر با عملکرد مناسب عملگرهایی مانند جهش و تقاطع طی نسل‌های جدید به وجود آیند. در نتیجه باید سعی گردد مقداری معقول و منطقی برای اندازه جمعیت در نظر گرفته شود. همچنین اگر بر روی تمام اعضای هر نسل، تنها عملگر جهش و یا تنها عملگر تقاطع اعمال گردد می‌تواند موجب به وجود آمدن چاله حداقل محلی شود. پس باید عملگرهای تقاطع و جهش با نسبتی مناسب بر روی اعضای هر نسل اعمال شوند. بدین منظور الگوریتم پارامتری به نام نسبت تقاطع^۳ را تعریف کرده که تعیین می‌نماید عملگر تقاطع بر چه مقداری از اعضای جمعیت هر نسل اعمال شود. الگوریتم برای تقاطع مقداری بین ۰/۹۰ و ۰/۶۵ را پیشنهاد نموده است تا از پدیده قفل شدن فرایند بهینه‌سازی و مواجهه با چاله حداقل محلی جلوگیری گردد. فرایند بهینه‌سازی ژنتیک در نرم‌افزار MATLAB انجام خواهد گرفت. هدف از روش بهینه‌سازی به کار رفته در این تحقیق به دست آوردن پارامترهای قانون چسبناک و کمینه کردن تابع زیر که تابع شایستگی^۴ (FF) مورد نظر می‌باشد خواهد بود.

$$(1) FF = \sqrt{\frac{\sum_{i=1}^N (F_i^{exp} - F_i^{FEA})^2}{N}}$$

در رابطه ۱ F_i^{exp} مقدار نیروی حاصل از نمودار بار- جابه‌جاوی آزمایشگاهی و F_i^{FEA} هم نیروی حاصل از تحلیل المان محدود مساله می‌باشد. N تعداد زیرگام‌های حل مربوط به تحلیل المان محدود می‌باشد که در این تعداد نقاط باید دو نمودار نیرو-جابه‌جاوی مربوط به نتایج آزمایشگاهی و تحلیل المان محدود با هم منطبق گردد.

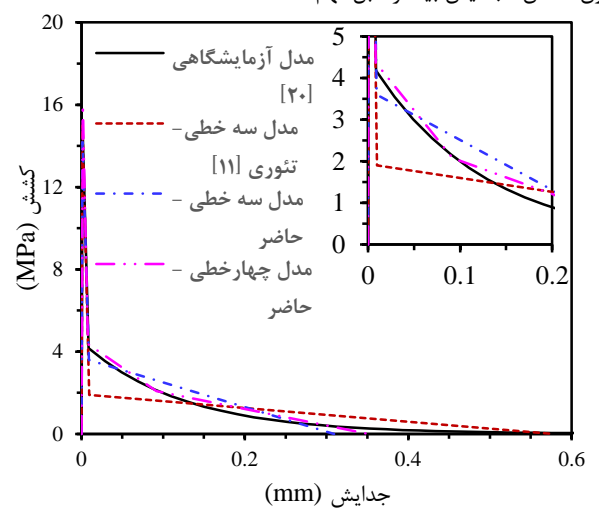
قانون کشش- جدایش پیش‌فرضی که در ابتدا برای المان بین لایه‌ای فرض می‌گردد یک قانون کشش- جدایش سه خطی می‌باشد که در شکل ۴ نمایش داده شده است. با توجه به شکل ۴ این قانون دارای دو پارامتر تعیین کننده است که مجھولات مساله بهینه‌سازی این تحقیق نیز می‌باشند. این دو

در جدول ۳ نتایج بهینه سازی پارامترهای مدل ناحیه چسبناک سه خطی و چهارخطی به همراه مدل سه خطی ارائه شده توسط حیدری-رارانی و همکاران [۱۱] ارائه شده و با نتایج آزمایشگاهی مدل غیر خطی مقایسه شده‌اند. لازم به ذکر است خطای مقادیر محاسبه شده برای پارامتر σ_{br} نسبت به مقدار مربوط به قانون آزمایشگاهی در جدول ۳ گزارش شده است.

جدول ۳ مقایسه نتایج بدست آمده از فرآیند بهینه سازی با مقادیر آزمایشگاهی مدل ناحیه چسبناک

σ_{max} (MPa)	σ_{br} (MPa)	σ_{br-1} (MPa)	Error (%)	نوع قانون کشش - جدایش
۱۵	۴/۱۸	-	-	قانون
				آزمایشگاهی [۲۰]
۱۵	۱/۹۰	-	۵۴/۵۴	قانون سه خطی (تئوری) [۱۱]
۱۴/۴	۲/۶۰	-	۱۳/۸	قانون سه خطی (بهینه‌سازی حاضر)
۱۶	۴/۳۷	۲/۰۸	۴/۵	قانون چهارخطی (بهینه‌سازی حاضر)

همانطور که در جدول ۳ مشخص است، مدل تئوری و مدل‌های حاضر مقدار تنفس حداکثر را تقریباً یکسان پیش‌بینی نموده‌اند. و این در حالی است که مقدار تنفس پلزنی در مدل‌های مختلف متفاوت می‌باشد. خطای روش‌های مختلف در پیش‌بینی مقدار حداکثر تنفس پلزنی در این جدول نشان داده شده است. همانطور که مشاهده می‌گردد مدل چهارخطی به خوبی توانسته است مقدار حداکثر تنفس پلزنی را پیش‌بینی نماید. همچنین پارامتر دیگر این مدل σ_{br-1} نیز روی منحنی پلزنی آزمایشگاهی قرار گرفته است (شکل ۷). در شکل ۷ مدل‌های مختلف ناحیه چسبناک با مدل آزمایشگاهی مقایسه شده‌اند. همانطور که در این شکل مشخص است مدل چهار خطی تطابق بیشتری با مدل پلزنی آزمایشگاهی دارد. از شکل ۷ می‌توان دریافت که قانون چهارخطی قابلیت بیشتری برای مدل‌سازی رفتار غیرخطی قانون آزمایشگاهی دارد. این موضوع به ویژه برای ناحیه نرم‌شوندگی برای هر چهار ناحیه چسبناک حاصل است.



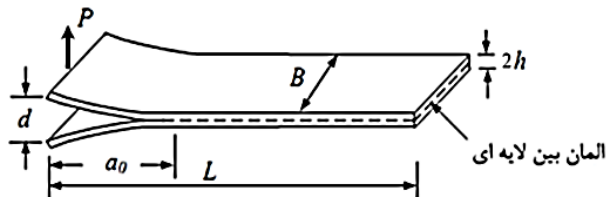
شکل ۷ مقایسه قوانین کشش- جدایش حاصل از تئوری و بهینه سازی با قانون آزمایشگاهی آن

در این تحقیق سعی خواهد شد که مقدار به دست آمده برای این پارامتر از هر دو قانون سه خطی و چندخطی با مقدار متناظر آزمایشگاهی خود مقایسه گردند تا بتوان ارزیابی نمود که کدامیک از این دو نوع قانون چندخطی پیش‌بینی دقیق‌تر این پارامتر را دارا هستند. در این مساله بهینه‌سازی حداکثر تعداد نسل برای توقف الگوریتم ۵۰ و اندازه جمعیت هر نسل هم ۲۰ در نظر گرفته شده است. البته شایان ذکر می‌باشد که در فرایند حل مسائل سعی گردید که فرایند بهینه‌سازی با تعداد جمعیت بیشتری انجام پذیرد (۳۰ عدد) که تغییر محسوسی در نتایج ایجاد نشد و تنها زمان فرایند حل فزایش یافت.

همچنین مشاهده گردید که در مقادیر به دست آمده برای پارامترهای مجهول در ۱۰ الی ۱۵ نسل آخر تغییر چندانی ایجاد نشد که این خود کافی بودن تعداد نسل برای توقف حل را اثبات می‌نمود. به خصوص در زمان حل پارامترهای مدل سه خطی که تعداد مجهولات کمتر است (σ_{max} و σ_{br}) نتایج از نسل دهم یا پانزدهم به بعد تقریباً همگرا می‌گردید و تفاوت چندانی در نتایج رویت نمی‌شد.

۵- نتایج المان محدود

در این بخش با استخراج یک قانون چندخطی با استفاده از الگوریتم ژنتیک به بررسی عددی رشد تورق در نمونه DCB نکجهته پرداخته می‌شود. سپس قوانین چندخطی حاصل با قانون مشابه آزمایشگاهی خود مورد مقایسه قرار می‌گیرند. نمونه بررسی شده در این بخش مربوط به تحقیق [۲۰] روی نمونه‌های تکجهته DCB می‌باشد. این محققین به مطالعه اثر پلزنی الیاف بر رفتار تورقی نمونه‌های تکجهته کامپوزیت پرداخته‌اند. بدین منظور با استفاده از روش انتگرال J توانسته‌اند قانون پلزنی نمونه‌های مورد نظر را به صورت آزمایشگاهی استخراج نمایند. مدل آزمایشگاهی ارائه شده در این مرجع مبنای ارزیابی و صحنه‌سنجی قوانین چندخطی حاصل از مطالعه‌ی حاضر خواهد بود. شکل ۶ یک نمونه DCB را به صورت شماتیک نمایش می‌دهد. خواص هندسی و مکانیکی نمونه مورد نظر در جدول ۲ نشان داده شده است.



شکل ۶ شماتیک نمونه DCB

جدول ۲ خواص هندسی و مکانیکی نمونه DCB ساخته شده از کامپوزیت شیشه‌اپوکسی [۲۰]

خواص مکانیکی	خواص هندسی
E_{22} (GPa)	۱۵۰ L (mm)
E_{fx1} (GPa)	۲۵ B (mm)
G_{12} (GPa)	۴/۵ ۲h (mm)
v_{12}	۳۵ a_0 (mm)
G_{ini} (J/m ²)	
G_{Prop} (J/m ²)	

همانطور که در بخش مقدمه عنوان گردید، فرمند-آشتیانی و همکاران [۱۴] با استفاده از ابزار FBG توانسته‌اند قانون پلزنی را برای نمونه‌های تک جهت DCB به صورت نیمه آزمایشگاهی استخراج نمایند. این محققین با انجام آزمایش تورق برای چند لایه‌هایی با ضخامت‌های مختلف اثبات نمودند که تاثیر ضخامت نمونه‌ها بر مقدار حداکثر تنش پلزنی بسیار ناچیز می‌باشد. در تحقیق حاضر هم مانند حالت قبل با ارائه مدل‌های ساده چندخطی به بررسی فرایند رشد تورق مربوط به نمونه‌های این مرجع پرداخته خواهد شد. خواص هندسی و مکانیکی نمونه‌های مورد نظر در جدول ۴ گزارش شده است. در این جدول برای ضخامت‌های مختلف مقادیر مختلف چقرمگی شکست حالت پایا ارائه شده است به گونه‌ای که با افزایش ضخامت مقدار این پارامتر افزایش می‌یابد. از طرفی دیگر مقدار چقرمگی شکست شروع برای همه ضخامت‌ها یکسان می‌باشد.

جدول ۴ خواص هندسی و مکانیکی نمونه DCB ساخته شده از کامپوزیت کربن/اپوکسی [۱۴]

خواص مکانیکی		خواص هندسی	
۷	E_{22} (GPa)	۱۵۰	L (mm)
۱۱۰	E_{fx1} (GPa)	۲۵	B (mm)
۳/۲	G_{12} (GPa)	۱۰ و ۸، ۴	2h (mm)
۰/۲۷	v_{12}	۳۵	a_0 (mm)
۳۰۰	$G_{ini.}$ (J/m ²)		
۱۲۱۵	$G_{Prop.}$ (J/m ²)		
۹۹۸ و ۶۹۰			

مانند حالت قبل نتایج بهینه سازی پارامترهای مدل ناحیه چسبناک سه خطی و چهارخطی به همراه مدل سه خطی ارائه شده توسط حیدری-رارانی و همکاران [۱۱] در جداول ۵، ۶ و ۷ برای هر سه ضخامت ارائه گردیده و با نتایج آزمایشگاهی مدل غیرخطی مقایسه شده‌اند.

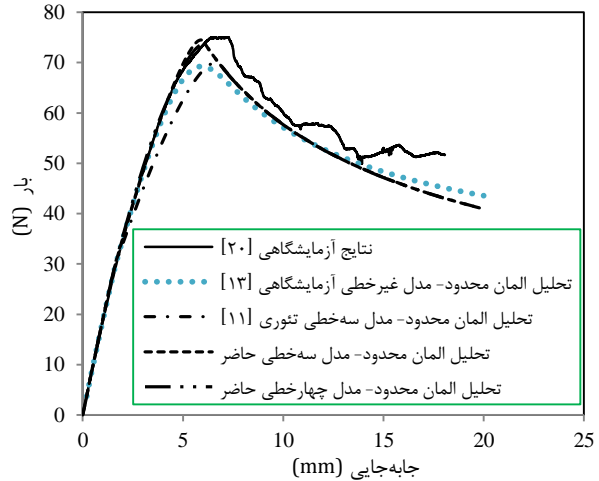
جدول ۵ مقایسه نتایج بدست آمده از فرآیند بهینه سازی با مقادیر آزمایشگاهی مدل ناحیه چسبناک برای ضخامت ۴ میلی‌متر

نوع قانون کشش- جدایش	Error (%)	σ_{br} (MPa)	σ_{br-1} (MPa)	σ_{max} (MPa)
قانون آزمایشگاهی [۱۴]	-	۱/۳۸	-	۲۰
قانون سه خطی (تئوری) [۱۱]	۵۵/۷۹	۰/۶۱	-	۲۰
قانون سه خطی (بهینه‌سازی حاضر)	۶۷	۰/۴۵	-	۱۸
قانون چهارخطی (بهینه‌سازی حاضر)	۱۰/۸۶	۰/۲۴۳	۰/۲۴۳	۱۹/۱۹

جدول ۶ مقایسه نتایج بدست آمده از فرآیند بهینه سازی با مقادیر آزمایشگاهی مدل ناحیه چسبناک برای ضخامت ۸ میلی‌متر

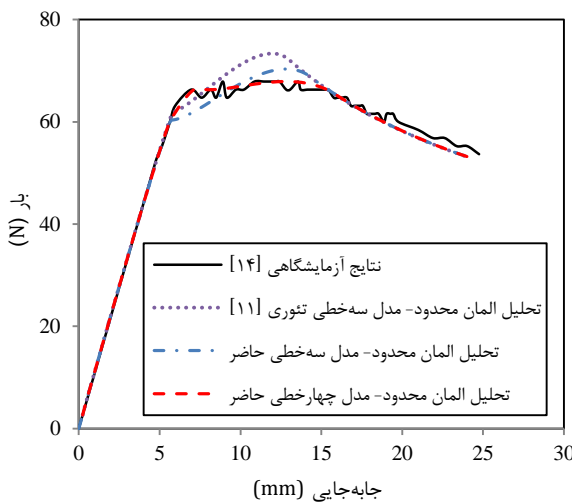
نوع قانون کشش- جدایش	Error (%)	σ_{br} (MPa)	σ_{br-1} (MPa)	σ_{max} (MPa)
قانون آزمایشگاهی [۱۴]	-	۱/۳۸	-	۲۰
قانون سه خطی (تئوری) [۱۱]	۵۷/۹۷	۰/۵۸	-	۲۰
قانون سه خطی (بهینه‌سازی حاضر)	۶۷	۰/۴۵	-	۱۹
قانون چهارخطی (بهینه‌سازی حاضر)	۲/۸۹	۰/۲۵۶	۰/۲۵۶	۱۸/۶۲

همانطور که در شکل ۷ نشان داده شده است، در قانون چهارخطی نقطه مربوط به حداکثر تنش پلزنی و نقطه پایین تر آن روی مدل آزمایشگاهی قرار گرفته است و این قانون دارای مبنای و مفهوم فیزیکی می‌باشد. اما قانون سه خطی علاوه بر عدم قابلیت پیش‌بینی حداکثر تنش پلزنی، انطباق لازم با مدل آزمایشگاهی را نیز ندارد. در شکل ۸ نمودار بار- جابه‌جایی حاصله از روش المان محدود با استفاده از مدل‌های مختلف کشش- جدایش با نتایج آزمایشگاهی آن مقایسه شده‌اند.

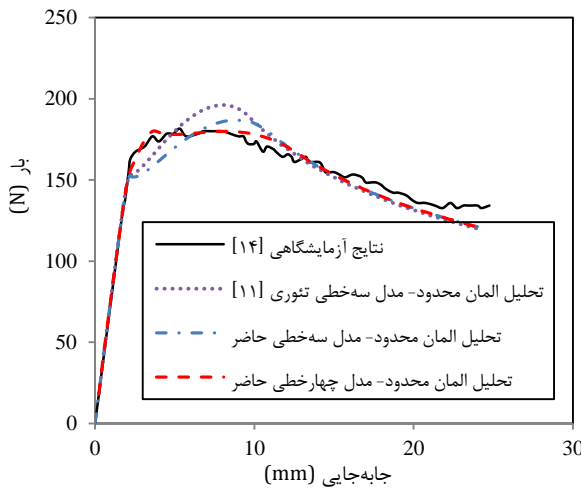


شکل ۸ پیش‌بینی منحنی بار- جابه‌جایی المان محدود با استفاده از مدل‌های کشش- جدایش مختلف

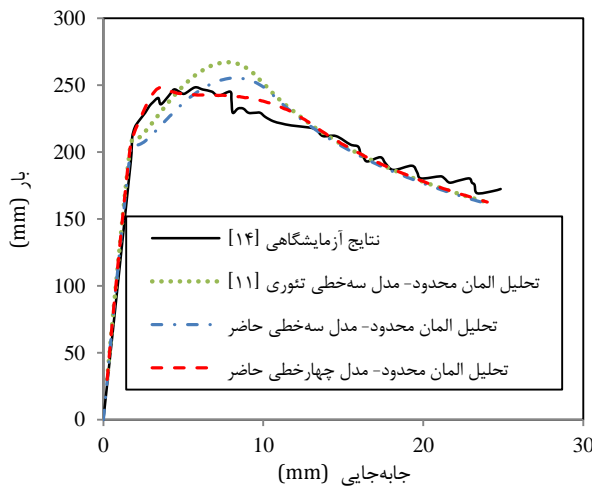
همانطور که در این شکل مشخص است نتایج بار- جابه‌جایی حاصل از کشش- جدایش غیر خطی از انطباق بالایی با نتایج آزمایشگاهی برخوردار می‌باشد. همچنین می‌توان گفت، که قوانین حاصل از تحلیل بهینه‌سازی نیز قابلیت خوبی در پیش‌بینی نمودار بار- جابه‌جایی آزمایشگاهی داشته‌اند. چرا که مقادیر حداکثر تنش پلزنی حاصل از بهینه‌سازی برای هر دو قانون سه خطی و چهارخطی خطای به مراتب کمتری را نسبت به مقاداری که روش تئوری پیشنهاد داده، به خود اختصاص داده‌اند. مقاداری که روش تئوری حداکثر تنش پلزنی پیش‌بینی کرده است به مراتب کمتر از مقدار متناظر آزمایشگاهی خود می‌باشد. در نتیجه نمودار بار- جابه‌جایی عددی دلتوناسته است شبیه بخش پلزنی یا رشد تورق را به خوبی مدل‌سازی و پیش‌بینی نماید. بدین ترتیب می‌توان به اهمیت و تاثیر مقدار مربوط به پارامتر حداکثر تنش پلزنی الیاف در پیش‌بینی بخش غیرخطی نمودار بار- جابه‌جایی آزمایشگاهی بی برد. در فرایند اجرای بهینه‌سازی با استفاده از مدل چهارخطی، شبیه بخش غیرخطی نمودار با استخراج دقیق مقدار پارامتر حداکثر تنش پلزنی (σ_{br}) با دقت قابل قبول پیش‌بینی می‌گردد. همچنین پیش‌بینی دقیق بار بیشینه نیز با محاسبه مناسب مقدار پارامتر σ_{br-1} محقق می‌گردد. اما مدل سه خطی به دلیل نداشتن پارامتر σ_{br-1} نمی‌تواند بار بیشینه نمودار آزمایشگاهی را به خوبی پیش‌بینی نماید. در نتیجه هنگام استخراج مقادیر بهینه پارامترهای مدل سه خطی، الگوریتم مجبور خواهد شد مقدار کمتری را برای حداکثر تنش پلزنی اختصاص دهد تا بار بیشینه نمودار آزمایشگاهی به خوبی پیش‌بینی گردد. بنابراین مقدار بهینه مربوط به پارامتر σ_{br} اختلاف قابل توجهی با مقدار آزمایشگاهی خود خواهد داشت و مدل سه خطی برای پیش‌بینی پارامترهای مهم ناحیه پلزنی مدل چسبناک، قانون نسبی نخواهد بود.



شکل ۹ پیش‌بینی منحنی بار-جایه‌جایی المان محدود با استفاده از مدل‌های کشش-جدایش مختلف برای نمونه با ضخامت ۴ میلی‌متر



شکل ۱۰ پیش‌بینی منحنی بار-جایه‌جایی المان محدود با استفاده از مدل‌های کشش-جدایش مختلف برای نمونه با ضخامت ۸ میلی‌متر



شکل ۱۱ پیش‌بینی منحنی بار-جایه‌جایی المان محدود با استفاده از مدل‌های کشش-جدایش مختلف برای نمونه با ضخامت ۱۰ میلی‌متر

جدول ۷ مقایسه نتایج بدست آمده از فرآیند بهینه سازی با مقادیر آزمایشگاهی مدل ناحیه چسبناک برای ضخامت ۱۰ میلی‌متر

نوع قانون کشش-جدایش	σ_{max} (MPa)	σ_{br} (MPa)	σ_{br-1} (MPa)	Error (%)
قانون	۲۰	۱/۳۸	-	-
آزمایشگاهی [۱۴]				
قانون سه خطی (تئوری) [۱۱]	۲۰	۰/۶۱	-	۵۷/۷۹
قانون سه خطی (بهینه‌سازی حاضر)	۲۰	۰/۵۲	-	۶۲
قانون چهار خطی (بهینه‌سازی حاضر)	۲۰/۹۵	۱/۲۳	۰/۲۵۳	۱۰/۸۶

همانطور که از جداول ۵، ۶ و ۷ می‌توان دریافت مانند حالت قبل قوانین سه خطی و چهار خطی مقادیر تقریباً یکسانی را برای تنش حداکثر ارائه داده‌اند. اما در این حالت مقادیر محاسبه شده برای حداکثر تنش پلزنی برای قوانین سه خطی و چهار خطی تفاوت بسیار محسوس و قابل توجهی دارند. همانطور که در این جداول قابل مشاهده است قانون چهار خطی توانسته است با خطایی به مراتب کمتر، پارامتر حداکثر تنش پلزنی را پیش‌بینی نماید. پس در این حالت نیز مزیت مدل چهار خطی نسبت به سه خطی در پیش‌بینی دقیق پارامتر σ_{br} به خوبی اثبات م. دلیل این مزیت نیز در پخش مربوط به حالت قبل به صورت کامل تشریح شد.

همچنان قوانین سه خطی بهینه و تئوری مقادیری با خطای بسیار زیاد را برای پارامتر حداکثر تنش پلزنی پیش‌بینی نموده‌اند که این خود ناتوانی قانون سه خطی در پیش‌بینی پارامترهای پلزنی بالاخص حداکثر تنش پلزنی را به وضوح بیان می‌نماید. برای این حالت نیز نتایج المان محدود حاصل از قوانین مختلف ارائه شده همراه با نتایج آزمایشگاهی برای هر سه ضخامت مورد نظر در شکل‌های ۹، ۱۰ و ۱۱ نشان داده شده است.

در شکل‌های ۹، ۱۰ و ۱۱ مشاهده می‌گردد که قوانین سه خطی برخلاف حالت قبل نتوانسته‌اند نتایج آزمایشگاهی را به خوبی پیش‌بینی نمایند. اما نتایج عددی حاصل از مدل چهار خطی ارائه شده، توانسته است به خوبی نتایج آزمایشگاهی را برای هر سه ضخامت پیش‌بینی نماید. دلیل این تفاوت چشمگیر در نمودارهای بار-جایه‌جایی عددی حاصل از دو مدل سه خطی و چهار خطی، به تفاوت چشمگیر مقادیر ارائه شده برای پارامتر حداکثر تنش پلزنی مربوط می‌گردد. زیرا که قوانین سه خطی مقادیری به مراتب کمتر از مقدار مشابه آزمایشگاهی را برای پارامتر σ_{br} ارائه داده‌اند.

با توجه به اینکه در حالت قبل اهمیت محاسبه دقیق پارامتر σ_{br} در پیش‌بینی مناسب بار-جایه‌جایی به خوبی اثبات می‌گردد. با توجه به اینکه مدل چهار خطی برای پارامتر σ_{br} برای تمام ضخامت‌ها توانسته است مقادیر بسیار نزدیکتری به مقادیر مشابه آزمایشگاهی ارائه دهد، در نتیجه نتایج حاصل از مدل سازی عددی توسط مدل چهار خطی با دقیقی متناسبتر نتایج آزمایشگاهی را پیش‌بینی می‌نمایند. علاوه بر این در این حالت با محاسبه دقیق پارامتر حداکثر تنش پلزنی با استفاده از الگوریتم بهینه‌سازی ژنتیک نیز اثبات گردید که اثر ضخامت در مقادیر پارامتر مهم ناچیه پلزنی ناچیز می‌باشد. به صورتی که برای هر سه ضخامت مقداری مناسب و قابل اعتماد برای پارامتر σ_{br} محاسبه گردید که با یکدیگر تفاوت چندانی نداشتند.

- [14] Farmand-Ashtiani, E. Cugnoni, J. and Botsis, J., "Specimen Thickness Dependence of Large Scale Fiber Bridging in Mode I Interlaminar Fracture of Carbon Epoxy Composite," *Int. J. Solids Struct.*, Vol. 55, pp. 58–65, 2014.
- [15] Manshadi, B. D. Vassilopoulos, A. P. and Botsis, J. "A Combined Experimental/Numerical Study of The Scaling Effects on Mode I Delamination of GFRP," *Compos. Sci. Technol.*, Vol. 83, pp. 32–39, 2013.
- [16] Manshadi, B. D. Farmand-Ashtiani, E. Botsis, J. and Vassilopoulos, A. P., "An Iterative Analytical/Experimental Study of Bridging in Delamination of The Double Cantilever Beam Specimen," *Compos. Part A Appl. Sci. Manuf.*, Vol. 61, pp. 43–50, Jun. 2014.
- [17] Dourado, N. De Moura, M. F. S. F. De Morais, A. B. and Pereira, A. B., "Bilinear Approximations to The Mode II Delamination Cohesive Law Using an Inverse Method," *Mech. Mater.*, Vol. 49, pp. 42–50, 2012.
- [18] de Morais, A.B. Pereira, A.B. de Moura, M.F.S.F. Silva, F.G.A. Silva Dourado, N., "Bilinear Approximations to the Mixed-Mode I-II Delamination Cohesive Law Using an Inverse Method," *Compos. Struct.*, Vol. 122, pp. 361–366, 2015.
- [19] Blackman, B. R. K. Hadavinia, H. Kinloch, A. J. and Williams, J. G., "The Use of a Cohesive Zone Model to Study The Fracture of Fibre Composites and Adhesively-Bonded Joints," *Compos. Sci. Technol.*, Vol. 1, pp. 25–46, 2003.
- [20] Salamat-talab, M., "Simulation Of Delamination Growth In Double Cantilever Beam Specimen Made Of Laminated Composites" MSc Thesis, Department of Mechanical Engineering, Iran university of Science and Technology, 2011.

۶- نتیجه‌گیری

در این تحقیق با ارائه مدل کشش-جدایش چند خطی ساده و با استفاده از مدل المان ناحیه چسبناک به بررسی رشد تورق در نمونه تیر دولبه یکسر گیردار با پلزنی الیاف بزرگ مقایس پرداخته شده است. استخراج مدل کشش-جدایش مناسب با استفاده از روش‌های تجربی و نیمه تجربی مشکلاتی را در پی خواهد داشت. بدین منظور در این تحقیق سعی شده است تا مدل کشش-جدایش مناسب با استفاده از روش عددی استخراج شود. مدل کشش-جدایش سه خطی ساده‌ترین مدل چندخطی اصلاح‌یافته‌ای است که برای مدل‌سازی پدیده رشد تورق در نمونه تیر دولبه یکسر گیردار با پدیده پل-زنی برای نمونه‌های تک‌جهتی ارائه شده است. این در حالی است که قانون سه خطی مطابقت لازم با مدل کشش-جدایش آزمایشگاهی را ندارد. این عدم تطابق نشان‌دهنده این است که پارامترهای قانون سه خطی از لحاظ فیزیکی قابل تفسیر نیستند. بدین منظور در این تحقیق با اصلاح این قانون و تبدیل آن به قانون چهارخطی این امکان فراهم گردید تا رفتار غیرخطی و پیچیده مدل مادی آزمایشگاهی را با یک قانون چهارخطی ساده‌تر مدل‌سازی نمود. به منظور استخراج پارامترهای مدل‌های چند خطی کشش-جدایش از روش بهینه سازی با استفاده از الگوریتم ژنتیک استفاده شده است. در این روش با کمینه کردن اختلاف منحنی بار-جایه‌جایی آزمایشگاهی و عددی، پارامترهای بهینه مدل‌های کشش-جدایش استخراج شدند. مقایسه مدل‌های کشش-جدایش مستخرج از روش بهینه سازی با مدل‌های تئوری و آزمایشگاهی نشان می‌دهد که مدل ناحیه چسبناک چهار خطی ارائه شده، حداقل تنش پلزنی مستخرج از داده‌های آزمایشگاهی و همچنین رفتار تورقی نمونه تیر دولبه یکسر گیردار را به خوبی پیش‌بینی می‌نماید.

۷- مراجع

- [1] ASTM Standard D5528-94a, Standard Test Method for Mode I Inter-Laminar Fracture Toughness of Unidirectional Continuous Fiber Reinforced Polymer Matrix Composites, Philadelphia, PA, 1994.
- [2] Rybicki, E. F. and Kanninen, M. F., "A Finite Element Calculation of Stress Intensity Factors by a Modified Crack Closure Integral," *Eng. Fract. Mech.*, Vol. 9, No. 4, pp. 931–938, Jan. 1977.
- [3] Nairn, J. A., "Analytical and Numerical Modeling of R -Curves for Cracks With Bridging Zones," *Int. J. Fract.*, vol. 155, No. 2, pp. 167–181, 2009.
- [4] Williams, J. G. Hadavinia, H. and Kinloch, A. J., "Cohesive Zone Models in The Characterisation of Toughness," *Compos. Sci. Technol.*, Vol. 3, 2005.
- [5] Alfano, G., "On The Influence of The Shape of The Interface Law on The Application of Cohesive-Zone Models," *Compos. Sci. Technol.*, Vol. 66, No. 6, pp. 723–730, May 2006.
- [6] Dugdale, D. S., "Yielding of Steel Sheets Containing Slits," *J. Mech. Phys. Solids*, Vol. 8, No. 2, pp. 100–104, May 1960.
- [7] Barenblatt, G. I., "The Mathematical Theory of Equilibrium Cracks in Brittle Fracture," *Compos. Sci. Technol.*, Vol. 3, pp. 55–129, 1962.
- [8] Camanho, P. P. Davila, C. G. and De Moura, M. F., "Numerical Simulation of Mixed-Mode Progressive Delamination in Composite Materials," *J. Compos. Mater.*, Vol. 37, No. 16, pp. 1415–1438, 2003.
- [9] Turon, A. Dávila, C. G. Camanho, P. P. and Costa, J., "An Engineering Solution for Mesh Size Effects in The Simulation of Delamination Using Cohesive Zone Models," *Eng. Fract. Mech.*, Vol. 74, No. 10, pp. 1665–1682, 2007.
- [10] Dávila, C. G. Rose, C. A. and Camanho, P. P., "A Procedure for Superposing linear Cohesive Laws to Represent Multiple Damage Mechanisms in The Fracture Of Composites," *Int. J. Fract.*, Vol. 158, No. 2, pp. 211–223, 2009.
- [11] Heidari-Rarani, M. Shokrieh, M. M. and Camanho, P. P., "Finite Element Modeling of Mode I Delamination Growth in Laminated DCB Specimens With R-curve Effects," *Compos. Part B Eng.*, Vol. 45, No. 1, pp. 897–903, 2013.
- [12] Sorensen, B. F. and Jacobsen, T. K., "Large-Scale Bridging in Composites: R-Curves and Bridging Laws," *Compos. Part A Appl. Sci. Manuf.*, Vol. 29, No. 11, pp. 1443–1451, 1998.
- [13] Shokrieh, M. M. Salamat-talab, M. and Heidari-Rarani, M., "Effect of Initial Crack Length on The Measured Bridging Law of Unidirectional E-Glass/Epoxy Double Cantilever Beam Specimens," *Mater. Des.*, Vol. 55, pp. 605–611, 2014.